

УДК 532.5:532.517.4

## ЛИНЕЙНАЯ УСТОЙЧИВОСТЬ ТЕЧЕНИЯ КУЭТТА КОЛЕБАТЕЛЬНО-ВОЗБУЖДЕННОГО ГАЗА 2. ВЯЗКАЯ ЗАДАЧА

Ю. Н. Григорьев<sup>\*,\*\*</sup>, И. В. Ершов<sup>\*</sup>

<sup>\*</sup> Институт вычислительных технологий СО РАН, 630090 Новосибирск, Россия

<sup>\*\*</sup> Новосибирский государственный университет, 630090 Новосибирск, Россия

E-mails: grigor@ict.nsc.ru, i\_ershov@ngs.ru

На основе линейной теории исследована устойчивость вязких возмущений в сверхзвуковом плоском течении Куэтта колебательно-возбужденного газа, описываемых системой линеаризованных уравнений двухтемпературной газовой динамики, включающих сдвиговую и объемную вязкости. Показано, что в спектре задачи устойчивости плоских волн, как и в случае совершенного газа, выделяются два множества. Одно из них состоит из вязких акустических мод, которые при больших числах Рейнольдса сходятся к четным и нечетным невязким акустическим модам. Собственные значения из другого множества не имеют асимптотической связи с невязкой задачей и характеризуются большими декрементами затухания. Выделены две наиболее неустойчивые вязкие акустические моды I и II, пределы которых рассматривались ранее в невязком приближении. Показано, что для обеих мод в пространстве параметров задачи существуют области, в которых наличие вязкости вызывает сильную дестабилизацию течения, причем декременты нарастания возмущений существенно превышают соответствующие значения для невязкого течения, в то же время термическое возбуждение во всем расчетном диапазоне параметров повышает устойчивость вязкого потока. Установлено, что в случае колебательно-возбужденного газа критические числа Рейнольдса в зависимости от степени термической неравновесности на 12 % больше, чем в случае совершенного газа.

**Ключевые слова:** линейная теория устойчивости, колебательная релаксация, уравнения двухтемпературной аэродинамики, моды возмущений.

DOI: 10.15372/PMTF20160207

**Введение.** В работе [1] в невязком приближении подробно исследована устойчивость сверхзвукового плоского течения Куэтта колебательно-возбужденного двухатомного газа. В частности, для выделенных в [2–4] в идеальном газе мод возмущений I, II показано, что релаксация колебательных уровней приводит к значительному уменьшению инкрементов нарастания наиболее неустойчивой моды II и повышению устойчивости моды I.

В данной работе, являющейся продолжением [1], изучается влияние колебательной релаксации на развитие вязких возмущений. Кроме того, представляло интерес разрешить противоречие в результатах работы [2] и более поздних работ [3, 4], в которых исследовалась устойчивость возмущений в сверхзвуковом течении Куэтта совершенного газа при

---

Работа выполнена при финансовой поддержке Российского фонда фундаментальных исследований (код проекта 14-01-00274а).

конечных числах Рейнольдса. В [2] выявлены стабилизирующее влияние вязкости и отсутствие растущих вязких мод вплоть до значений числа Рейнольдса  $Re = 5 \cdot 10^6$  при числах Маха  $M_\infty \leq 5$ . В работах [3, 4], наоборот, при  $Re \geq 5 \cdot 10^5$ ,  $M \geq 3$  показана неустойчивость вязкой моды II и в некоторой узкой подобласти параметров режима обнаружена сильная дестабилизация моды I, устойчивой в невязком пределе. В работе [1] сделано предположение, что причина различия заключается в несовершенстве реализации использованного в [2] численного метода коллокаций, для которого в [3, 4] применялось математическое обеспечение, разработанное для решения задач гидродинамической устойчивости. Кроме того, асимптотика спектра собственных мод для конечных чисел Рейнольдса в [2] оценивалась на основе подхода, отличающегося от обычного для линейной теории [5] асимптотического построения кривой нейтральной устойчивости.

В данной работе, как и в [2–4], используется метод коллокаций, модифицированный для решения спектральных задач теории гидродинамической устойчивости [6, 7] и апробированный в работах [8, 9]. Для независимой проверки результатов численных расчетов, так же как в [3], спектральная задача решалась методом стрельбы с помощью процедуры Рунге — Кутты четвертого порядка. Результаты расчетов для случая совершенного газа, выполненные с целью оценки диссипативного воздействия колебательной релаксации на неустойчивые вязкие возмущения, хорошо согласуются с результатами [3, 4]. Таким образом, противоречие между работами [2] и [3, 4] можно считать разрешенным в пользу последних. Основной результат данной работы состоит в том, что повышение линейной устойчивости сверхзвукового течения Куэтта при наличии колебательной релаксации, установленное в [1] для невязких мод I, II, имеет место и для конечных чисел Рейнольдса.

**1. Постановка задачи и основные уравнения.** Рассматривается задача линейной устойчивости плоского сжимаемого течения Куэтта колебательно-возбужденного молекулярного газа. Задача описывается системой уравнений двухтемпературной аэродинамики [10, 11], линеаризованной относительно точного решения:

$$\begin{aligned} U_s(y) = y, \quad T_s(y) = T_{v,s}(y) = 1 + \frac{(\gamma - 1)\text{Pr}M^2}{2} (1 - y^2), \\ \rho_s(y) = \frac{1}{T_s(y)}, \quad p_s(x_2) = \frac{1}{\gamma M^2}. \end{aligned} \quad (1)$$

Система линейных уравнений для возмущений гидродинамических величин в безразмерных переменных имеет вид [1]

$$\begin{aligned} \frac{\partial \hat{p}}{\partial t} + U_s \frac{\partial \hat{p}}{\partial x} + \rho_s \left( \frac{\partial \hat{u}_x}{\partial x} + \frac{\partial \hat{u}_y}{\partial y} \right) + \hat{u}_y \frac{\partial \rho_s}{\partial y} = 0, \\ \rho_s \left( \frac{\partial \hat{u}_x}{\partial t} + U_s \frac{\partial \hat{u}_x}{\partial x} + \hat{u}_y \frac{\partial U_s}{\partial y} \right) = -\frac{\partial \hat{p}}{\partial x} + \frac{1}{\text{Re}} \left( \frac{\partial^2 \hat{u}_x}{\partial x^2} + \frac{\partial^2 \hat{u}_x}{\partial y^2} \right) + \frac{1}{\text{Re}} \left( \alpha_1 + \frac{1}{3} \right) \left( \frac{\partial^2 \hat{u}_x}{\partial x^2} + \frac{\partial^2 \hat{u}_y}{\partial x \partial y} \right), \\ \rho_s \left( \frac{\partial \hat{u}_y}{\partial t} + U_s \frac{\partial \hat{u}_y}{\partial y} \right) = -\frac{\partial \hat{p}}{\partial y} + \frac{1}{\text{Re}} \left( \frac{\partial^2 \hat{u}_y}{\partial x^2} + \frac{\partial^2 \hat{u}_y}{\partial y^2} \right) + \frac{1}{\text{Re}} \left( \alpha_1 + \frac{1}{3} \right) \left( \frac{\partial^2 \hat{u}_x}{\partial x \partial y} + \frac{\partial^2 \hat{u}_y}{\partial y^2} \right), \\ \rho_s \left( \frac{\partial \hat{T}}{\partial t} + U_s \frac{\partial \hat{T}}{\partial x} + \hat{u}_y \frac{\partial T_s}{\partial y} \right) + \gamma(\gamma - 1)M^2 p_s \left( \frac{\partial \hat{u}_x}{\partial x} + \frac{\partial \hat{u}_y}{\partial y} \right) = \\ = \frac{\gamma}{\text{RePr}} \left( \frac{\partial^2 \hat{T}}{\partial x^2} + \frac{\partial^2 \hat{T}}{\partial y^2} \right) + \frac{\gamma_v \rho_s (\hat{T}_v - \hat{T})}{\tau} + \frac{2\gamma(\gamma - 1)M^2}{\text{Re}} \left( \frac{\partial \hat{u}_x}{\partial y} + \frac{\partial \hat{u}_y}{\partial x} \right) \frac{dU_s}{dy}, \end{aligned} \quad (2)$$

$$\gamma v \rho_s \left( \frac{\partial \hat{T}_v}{\partial t} + U_s \frac{\partial \hat{T}_v}{\partial x} + \hat{u}_y \frac{\partial T_{v,s}}{\partial y} \right) = \frac{20}{33} \frac{\gamma \gamma_v}{\text{Re Pr}} \left( \frac{\partial^2 \hat{T}_v}{\partial x^2} + \frac{\partial^2 \hat{T}_v}{\partial y^2} \right) - \frac{\gamma v \rho_s (\hat{T}_v - \hat{T})}{\tau},$$

$$\gamma M^2 \hat{p} = \rho_s \hat{T} + \hat{p} T_s.$$

Характерные значения параметров для обезразмеривания, обозначения переменных, параметров течения и критериев подобия совпадают с использованными в [1]. Принималось, что на границах канала  $y = 0$  и  $y = 1$  все возмущения обращаются в нуль и периодичны по продольной координате  $x$ .

Периодические по  $x$  возмущения рассматриваются в виде бегущих плоских волн:

$$\mathbf{q}(x, y, t) = \mathbf{q}_0(y) e^{i\alpha(x-ct)},$$

$$\mathbf{q}(x, y, t) = (\hat{u}_x, \hat{u}_y, \hat{p}, \hat{T}, \hat{T}_v, \hat{p}), \quad \mathbf{q}_0(y) = (u, \alpha v, \rho, \theta, \theta_v, p). \quad (3)$$

Здесь  $\alpha$  — волновое число, связанное с периодической переменной  $x$ ;  $c = c_r + ic_i$  — комплексная фазовая скорость;  $i$  — мнимая единица. После подстановки (3) в уравнения системы (2) задача сводится к следующей системе уравнений для амплитуд возмущений:

$$D\rho + \alpha \rho'_s v + \rho_s \sigma = 0, \quad \frac{1}{\text{Re}} \Delta u - \rho_s D u - \alpha \rho_s v U'_s - i\alpha \varepsilon = 0, \quad \frac{\alpha}{\text{Re}} \Delta v - \alpha \rho_s D v - \varepsilon' = 0,$$

$$\frac{\gamma}{\text{Re Pr}} \Delta \theta - \rho_s D \theta - \alpha \rho_s v T'_s - (\gamma - 1)\sigma + \frac{2\gamma(\gamma - 1)M^2}{\text{Re}} (u' + i\alpha^2 v) U'_s + \frac{\gamma v \rho_s}{\tau} (\theta_v - \theta) = 0,$$

$$\frac{20\gamma \gamma_v}{33\text{Re Pr}} \Delta \theta_v - \gamma v \rho_s D \theta_v - \alpha \gamma v \rho_s v T'_s - \frac{\gamma v \rho_s}{\tau} (\theta_v - \theta) = 0, \quad \gamma M^2 p = \rho_s \theta + \rho T_s, \quad (4)$$

$$D = i\alpha(U_s - c), \quad \sigma = \alpha(v' + iu), \quad \varepsilon = p - \frac{\sigma}{\text{Re}} \left( \alpha_1 + \frac{1}{3} \right), \quad \Delta = \frac{d^2}{dy^2} - \alpha^2.$$

Здесь и далее штрихи обозначают дифференцирование по переменной  $y$ . На стенках канала ( $y = 0$  и  $y = 1$ ) функции амплитуды принимают нулевые значения.

**2. Спектральная задача.** Система (4) с однородными граничными условиями представляет собой спектральную задачу, в которой собственными значениями являются комплексные фазовые скорости возмущений  $c = c_r + ic_i$ , а число Рейнольдса  $\text{Re}$ , число Маха  $M$  и волновое число  $\alpha$  служат параметрами. Для расчета собственных значений вязких мод спектральная задача (4) с однородными граничными условиями решалась численно в среде пакета Matlab. Использовался метод коллокаций [6, 7], ранее примененный в работах [8, 9]. Следует отметить, что в работах [2–4], посвященных исследованию линейной устойчивости течения Куэтта в невозбужденном совершенном газе, также применялся метод коллокаций, причем в [3, 4] использовался пакет Matlab. В данном случае спектральная задача записывалась в матричном представлении:

$$A_1 \varphi'' + A_2 \varphi' + A_3 \varphi = c A_4 \varphi, \quad \varphi|_{y=0} = \varphi|_{y=1} = 0. \quad (5)$$

Здесь  $\varphi = (\rho, u, v, \theta, \theta_v)$ ;  $A_k$  ( $k = 1, 2, 3, 4$ ) — матрицы размером  $5 \times 5$ :

$$A_1 = \begin{pmatrix} 0 & 0 & 0 & 0 & 0 \\ 0 & 1/\text{Re} & 0 & 0 & 0 \\ 0 & 0 & (\alpha_1 + 4/3)/\text{Re} & 0 & 0 \\ 0 & 0 & 0 & \gamma/(\text{Re Pr}) & 0 \\ 0 & 0 & 0 & 0 & 20\gamma \gamma_v/(33 \text{Re Pr}) \end{pmatrix},$$

$$A_2 = \begin{pmatrix} 0 & 0 & -\rho_s & 0 & 0 \\ 0 & 0 & i\alpha^2(\alpha_1 + 1/3)/\text{Re} & 0 & 0 \\ -T_s/(\gamma M^2) & i\alpha(\alpha_1 + 1/3)/\text{Re} & 0 & -\rho_s/(\gamma M^2) & 0 \\ 0 & 2\gamma(\gamma - 1)M^2 U'_s/\text{Re} & -\alpha(\gamma - 1) & 0 & 0 \\ 0 & 0 & 0 & 0 & 0 \end{pmatrix},$$

$$A_3 = \begin{pmatrix} -iU_s & -i\rho_s & -\rho'_s & 0 & 0 \\ -i\alpha T_s/(\gamma M^2) & -\alpha a_1 & -\alpha\rho_s U'_s & -i\alpha\rho_s/(\gamma M^2) & 0 \\ -T'_s/(\gamma M^2) & 0 & -\alpha^2 a_2 & -\rho'_s/(\gamma M^2) & 0 \\ 0 & -i\alpha(\gamma - 1) & \alpha a_5 & -a_3 & \gamma v\rho_s/\tau \\ 0 & 0 & \alpha\gamma v\rho_s T'_s & \gamma v\rho_s/\tau & -\gamma v a_4 \end{pmatrix},$$

$$A_4 = \begin{pmatrix} -i & 0 & 0 & 0 & 0 \\ 0 & -i\rho_s & 0 & 0 & 0 \\ 0 & 0 & -i\alpha^2\rho_s & 0 & 0 \\ 0 & 0 & 0 & -i\alpha\rho_s & 0 \\ 0 & 0 & 0 & 0 & -i\alpha\gamma v\rho_s \end{pmatrix},$$

$$a_1 = \frac{\alpha}{\text{Re}} \left( \alpha_1 + \frac{4}{3} \right) + i\rho_s U_s, \quad a_2 = \frac{\alpha}{\text{Re}} + i\rho_s U_s, \quad a_3 = \frac{\gamma\alpha^2}{\text{RePr}} + \frac{\gamma v\rho_s}{\tau} + i\alpha\rho_s U_s,$$

$$a_4 = \frac{20\gamma\alpha^2}{33\text{RePr}} + \frac{\rho_s}{\tau} + i\alpha\rho_s U_s, \quad a_5 = \frac{2i\alpha\gamma(\gamma - 1)M^2 U'_s}{\text{Re}} - \rho_s T'_s.$$

В качестве узлов коллокации выбирались точки Гаусса — Лобатто

$$y_n = \frac{1}{2} \left[ 1 + \cos \left( \frac{\pi n}{N} \right) \right], \quad n = 0, 1, \dots, N,$$

в которых полином Чебышева  $N$ -й степени  $T_N(y)$  имеет экстремумы на отрезке  $y \in [0, 1]$ . Дифференциальные операторы первого порядка, входящие в спектральную задачу, аппроксимируются на данной сетке матрицей коллокационных производных  $D_N^1$  [6, 7] размером  $(N + 1) \times (N + 1)$ .

Построенная таким образом дискретная аппроксимация позволяет свести задачу (5) к обобщенной задаче на собственные значения (линейному спектральному матричному пучку) относительно спектрального параметра  $c$ :

$$\sum_{j=0}^{5N+4} (G_{ij} - cF_{ij})z_j = 0, \quad i = 0, 1, \dots, 5N + 4. \quad (6)$$

Здесь вектор неизвестных  $\mathbf{z}$  размером  $5(N + 1)$  состоит из значений собственных функций в узлах коллокации:

$$\mathbf{z} = (\rho_0, \rho_1, \dots, \rho_N, u_0, u_1, \dots, u_N, v_0, v_1, \dots, v_N, \theta_0, \theta_1, \dots, \theta_N, \theta_{v,0}, \theta_{v,1}, \dots, \theta_{v,N}),$$

матрицы  $G, F$  размером  $5(N + 1) \times 5(N + 1)$  вычисляются с использованием специальной процедуры Matlab по формулам

$$G = A_1 \otimes D_N^2 + A_2 \otimes D_N^1 + A_3 \otimes I_N, \quad F = A_4 \otimes I_N,$$

знак “ $\otimes$ ” обозначает прямое (тензорное) произведение матриц [12];  $I_N$  — единичная матрица размером  $(N + 1) \times (N + 1)$ .

Однородные граничные условия для уравнения (6) учитываются неявно через оператор  $D_N^1$  и на дискретном уровне реализуются заменой матрицы  $D_N^1$  на окаймленную матрицу размером  $(N - 1) \times (N - 1)$ . Последняя получается при выполнении условий

$$D_{0,j}^1 = D_{N,j}^1 = 0, \quad D_{i,0}^1 = D_{i,N}^1 = 0, \quad i = 0, \dots, N, \quad j = 0, \dots, N.$$

Для нахождения всех собственных значений и соответствующих собственных функций обобщенной спектральной задачи (6) использовалась процедура Matlab, реализующая QZ-алгоритм [13], который позволяет одновременным ортогональным преобразованием привести пару матриц  $G, F$  к обобщенной верхней треугольной форме. В результате применения

данной процедуры для фиксированных значений чисел Рейнольдса  $Re$  и Маха  $M$ , степени неравновесности колебательной энергии  $\gamma_v$ , времени колебательной релаксации  $\tau$  и волнового числа  $\alpha$  получался набор  $N + 1$  собственных значений  $c = c_r + ic_i$ .

Для проверки точности используемого метода проведены расчеты собственных значений  $c$  с помощью метода стрельбы. Для этого уравнения (4) заменялись нормальной системой уравнений первого порядка с однородными граничными условиями для вещественных и мнимых частей функций  $\rho$ ,  $u$ ,  $v$ ,  $\theta$ ,  $\theta_v$ . Полученная таким образом система при фиксированных наборах параметров  $M$ ,  $Re$ ,  $Pr$ ,  $\alpha$ ,  $\alpha_1$ ,  $\gamma_v$ ,  $\tau$  интегрировалась численно с помощью процедуры Рунге — Кутты четвертого порядка на интервалах  $y \in [0; 0,5]$  и  $y \in [0,5; 1,0]$  с шагом  $\Delta y = 10^{-3}$ . Точкой “прицеливания” служила середина канала ( $y = 0,5$ ). Значения  $c_r$  и  $c_i$  подбирались таким образом, чтобы вычисленные “слева” и “справа” в точке  $y = 0,5$  значения функций  $\rho_r$ ,  $u_r$ ,  $v_r$ ,  $\theta_r$  и  $\theta_{v,r}$ ,  $\rho_i$ ,  $u_i$ ,  $v_i$ ,  $\theta_i$ ,  $\theta_{v,i}$  совпадали с точностью до  $10^{-8}$ . Соответствующее такому совпадению значение  $c$  принималось в качестве собственного значения при заданном наборе параметров  $M$ ,  $Re$ ,  $Pr$ ,  $\alpha$ ,  $\alpha_1$ ,  $\gamma_v$ ,  $\tau$ . Сравнение результатов, полученных с помощью методов коллокаций и стрельбы, показало, что различия значений  $c = c_r + ic_i$  наблюдаются лишь в шестом-седьмом десятичных знаках после запятой. Таким образом была обеспечена необходимая точность вычисления инкрементов (декрементов) возмущений.

Расчет нейтральных кривых  $c_i(\alpha, Re) = 0$  для  $n$ -й вязкой моды возмущений проводился следующим образом. При фиксированных значениях параметров  $\alpha_1$ ,  $\gamma_v$ ,  $\tau$  и числа Маха  $M$  вычислялись двумерные массивы инкрементов (декрементов)  $n$ -й вязкой моды

$$\omega_{jk}^n = \omega^n(\alpha_j, Re_k) = \alpha_j c_i^n(\alpha_j, Re_k), \quad (7)$$

где одномерные массивы  $\alpha_j$ ,  $Re_k$  рассчитывались по формулам

$$\alpha_j = \alpha_0 + j \Delta\alpha, \quad j = 0, 1, \dots, J, \quad Re_k = Re_0 + k \Delta Re, \quad k = 0, 1, \dots, K,$$

$\Delta\alpha$ ,  $\Delta Re$  — приращения волнового числа и числа Рейнольдса соответственно.

Массив (7) определяет поверхность  $\omega(\alpha, Re)$  для  $n$ -й вязкой моды возмущений. Координаты в множестве, определяющем геометрическое место точек данной линии уровня  $\omega(\alpha, Re) = C$  на плоскости  $(\alpha, Re)$ , находились в соответствии с неравенством

$$|\omega^n(\alpha_j, Re_k) - C| \leq 10^{-8},$$

где  $C$  — некоторое заданное число. При  $C = 0$  получается нейтральная кривая  $\omega(\alpha, Re) = 0$  для  $n$ -й вязкой моды в терминах инкремента возмущений.

Расчеты проводились при следующих значениях параметров:  $\gamma_v = 0 \div 0,667$ ;  $\tau = 10^{-2} \div 10$ ;  $\alpha_1 = 0 \div 2$ ;  $\alpha = 0 \div 10$ ;  $Re = 10^4 \div 10^8$ ;  $\Delta Re = 50$ ;  $\Delta\alpha = 10^{-3}$ ;  $M = 0,5 \div 25,0$ ;  $Pr = 3/4$ ;  $\gamma = 7/5$ . Число узлов коллокации в интервале  $y \in [0, 1]$  варьировалось в диапазоне от  $N + 1 = 100$  до  $N + 1 = 500$  и в большинстве расчетов принималось равным  $N + 1 = 300$ . Такой выбор определялся отмеченной в работах [3, 4] чувствительностью собственных значений вязкой задачи к погрешностям вычислений.

**3. Результаты расчетов.** Параметрические расчеты спектральной задачи (6) показали, что изменение значений времени колебательной релаксации в диапазоне  $10^{-2} \leq \tau \leq 10$  слабо влияет на характер спектров вязких возмущений. Поэтому ниже расчетные данные приведены для одного значения времени релаксации  $\tau = 1$ .

Для течения Куэтта совершенного газа в расчетах [2, 3] показано, что в спектре фазовых скоростей вязких возмущений выделяются два характерных множества  $S_a$  и  $S_v$ , которые являются обобщением разбиения, полученного в [14] для несжимаемых течений. Каждое собственное значение, входящее в  $S_a$ , при  $Re \rightarrow \infty$  сходится к некоторому собственному значению для одной из невязких мод. Собственные значения из множества  $S_v$  не

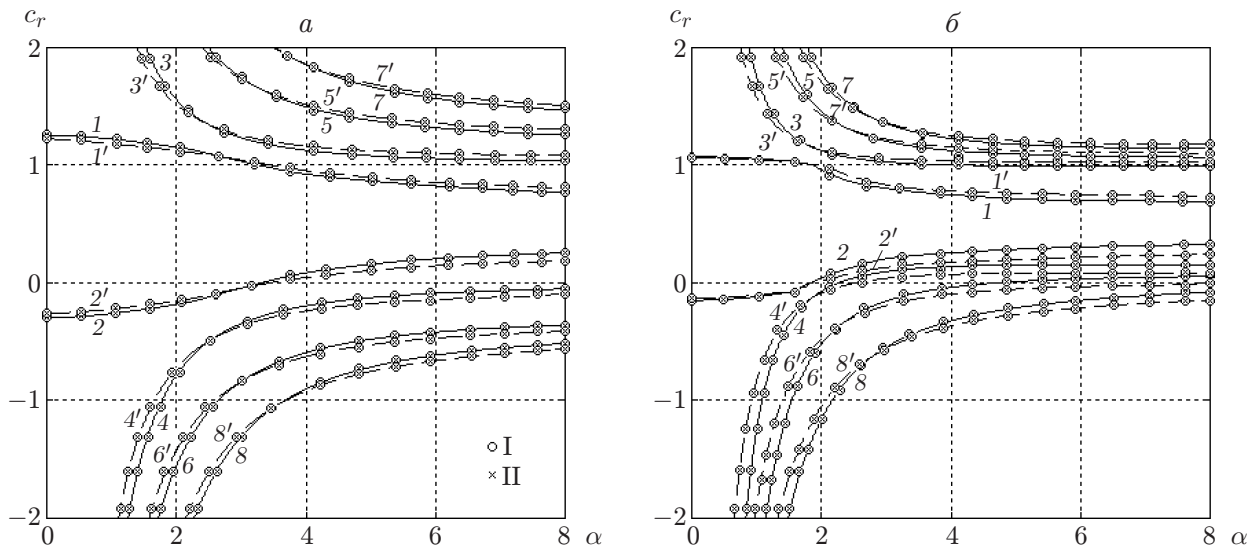


Рис. 1. Зависимости  $c_r(\alpha)$  для чисел Маха  $M = 2$  (а) и  $M = 5$  (б) при  $\alpha_1 = 0$ : 1, 1' — мода I, 2, 2' — мода II, 3, 3' — мода III, 4, 4' — мода IV, 5, 5' — мода V, 6, 6' — мода VI, 7, 7' — мода VII, 8, 8' — мода VIII; I —  $\text{Re} = 10^5$ , II —  $\text{Re} = 10^6$ ; сплошные линии — невязкие моды при  $\gamma_v = 0$ , штриховые — невязкие моды при  $\gamma_v = 0,667$

имеют асимптотической связи с невязкой задачей и характеризуются большими декрементами затухания. Расчеты вязких возмущений показали, что такая структура спектра имеет место и в случае колебательно-возбужденного газа. Так, разбиение множества мод  $S_a$  на четные и нечетные, классифицированное в [1–3] для невязких возмущений в равновесном и колебательно-возбужденном газах, сохраняется и для вязких возмущений. В частности, сохраняется поведение выделенных мод I и II, имеющих конечные пределы  $c_r(\alpha)$  при  $\alpha \rightarrow 0$ . Поскольку возможна неоднозначная трактовка физического смысла этих и других мод множества  $S_a$ , необходимо сделать следующее замечание. В отличие от известных мод возмущений в сжимаемом пограничном слое, где первая мода является обобщением волны Толлмина — Шлихтинга на случай сжимаемого течения, а вторая — акустической модой, оба семейства мод представляют собой акустические моды [15].

Графики зависимостей волновой скорости от волнового числа  $c_r(\alpha)$  для семейств четных и нечетных мод возмущений из множества  $S_a$  приведены на рис. 1. Сплошными и штриховыми линиями показаны зависимости  $c_r(\alpha)$  для четных и нечетных мод невязких возмущений для невозбужденного ( $\gamma_v = 0$ ) и колебательно-возбужденного ( $\gamma_v = 0,667$ ) газов соответственно [1]. Из рис. 1 следует, что диссипативные эффекты, обусловленные наличием вязкости (значением числа Рейнольдса) и возбуждением внутренних степеней свободы молекул, практически не влияют на характер кривых  $c_r(\alpha)$ , рассчитанных в невязком приближении при  $\text{Re} \rightarrow \infty$  [3]. На рис. 1 видно, что моды I и II быстрее попадают в интервал  $c_r = [0, 1]$ , в котором возможно развитие невязкой неустойчивости [1, 2], и поэтому являются наиболее неустойчивыми. При  $M = 2$  кривые мод I и II практически зеркально-симметричны относительно линии  $c_r = 0,5$ , соответствующей положению критического слоя на оси канала. Следует отметить, что с увеличением числа Маха точки перехода мод I и II в интервал  $c_r = [0, 1]$  сдвигаются в область меньших волновых чисел  $\alpha$ , а симметрия относительно линии  $c_r = 0,5$  нарушается. Это обусловлено существенным отклонением профиля температуры  $T_s(1)$  от симметричного при возрастании числа Маха.

Общая структура спектра вязких возмущений в зависимости от параметров течения представлена на рис. 2, 3. Большинство точек спектра на комплексной плоскости ( $c_r, c_i$ )

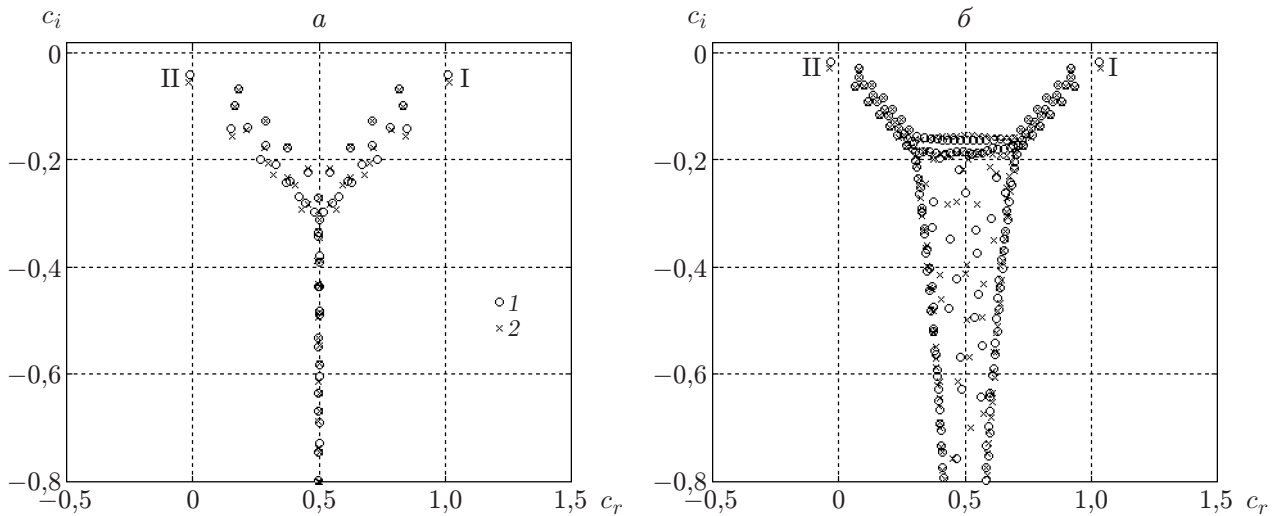


Рис. 2. Спектры собственных значений  $c = c_r + ic_i$  при  $M = 3$ ,  $\alpha = 0,1$ ,  $\gamma_v = 0$ :  
 $a$  —  $Re = 10^5$ ,  $b$  —  $Re = 10^6$ ; 1 —  $\alpha_1 = 0$ , 2 —  $\alpha_1 = 2$ ; I — мода I, II — мода II

принадлежит множеству  $S_v$  сильнозатухающих чисто вязких возмущений. Все они находятся в нижней полуплоскости в пределах полосы  $0 \leq c_r \leq 1$ . Это означает, что развитие таких возмущений обусловлено существованием в области течения критических слоев, в которых фазовая скорость возмущения совпадает со скоростью потока [14]. Вследствие сильного затухания этих возмущений их свойства в данной работе детально не рассматриваются. Следует отметить только, что в рассматриваемом случае учет объемной вязкости (см. рис. 2) и даже максимального возбуждения внутренних степеней свободы (см. рис. 3) практически не приводит к изменению границ множества  $S_v$  по сравнению со случаем совершенного газа [2, 3]. Для возбужденного газа имеет место некоторый сдвиг собственных значений в сторону больших декрементов затухания, пренебрежимо малый по сравнению со значениями  $c_i \in [0,1;1,0]$ . Из рис. 2, 3 следует, что сохраняются также все особенности динамики спектра возмущений в зависимости от параметров режима и волнового числа  $\alpha$ . В частности, с увеличением чисел Рейнольдса  $Re$ , Маха  $M$  и волнового числа  $\alpha$  Y-образная структура множества  $S_v$  преобразуется в H-образную. При небольших волновых числах  $\alpha$  сохраняется отмеченное в [2] тройное расщепление V-образной головной части Y-структуры. Следует отметить, что в [2] это расщепление объясняется наличием в аналогичной (4) системе уравнений для совершенного газа трех диссипативных слагаемых с разными коэффициентами. Согласно [2] в рассматриваемом случае при расщеплении можно было бы ожидать появления четвертой ветви, обусловленного наличием диссипативного слагаемого в уравнении для возмущений колебательной температуры. Однако в проведенных расчетах такой ветви не наблюдается (см., например, рис. 3, a).

При небольших сверхзвуковых числах Маха на рис. 2 множество  $S_a$  представлено двумя собственными значениями, соответствующими модам I и II, которые с увеличением числа Рейнольдса становятся близкими к нейтральным модам с  $c_i \sim 10^{-5}$  (ср. [1]). На рис. 3 видно, что с увеличением числа Маха и волнового числа  $\alpha$  появляются все более высокие моды III, V, VII, ... и IV, VI, VIII, ..., которые локализуются вблизи оси  $c_i = 0$ . В соответствии с рис. 1 указанные моды приближаются к полосе  $0 \leq c_r \leq 1$ , а моды I, II, IV входят в эту полосу, где в силу первой теоремы Рэлея [1] для их невязких пределов выполняется необходимое условие развития неустойчивости. Видно, что возбуждение внутренних степеней свободы молекул приводит к существенному изменению инкрементов четных и нечетных мод из множества  $S_a$  в направлении возрастания их устойчивости.

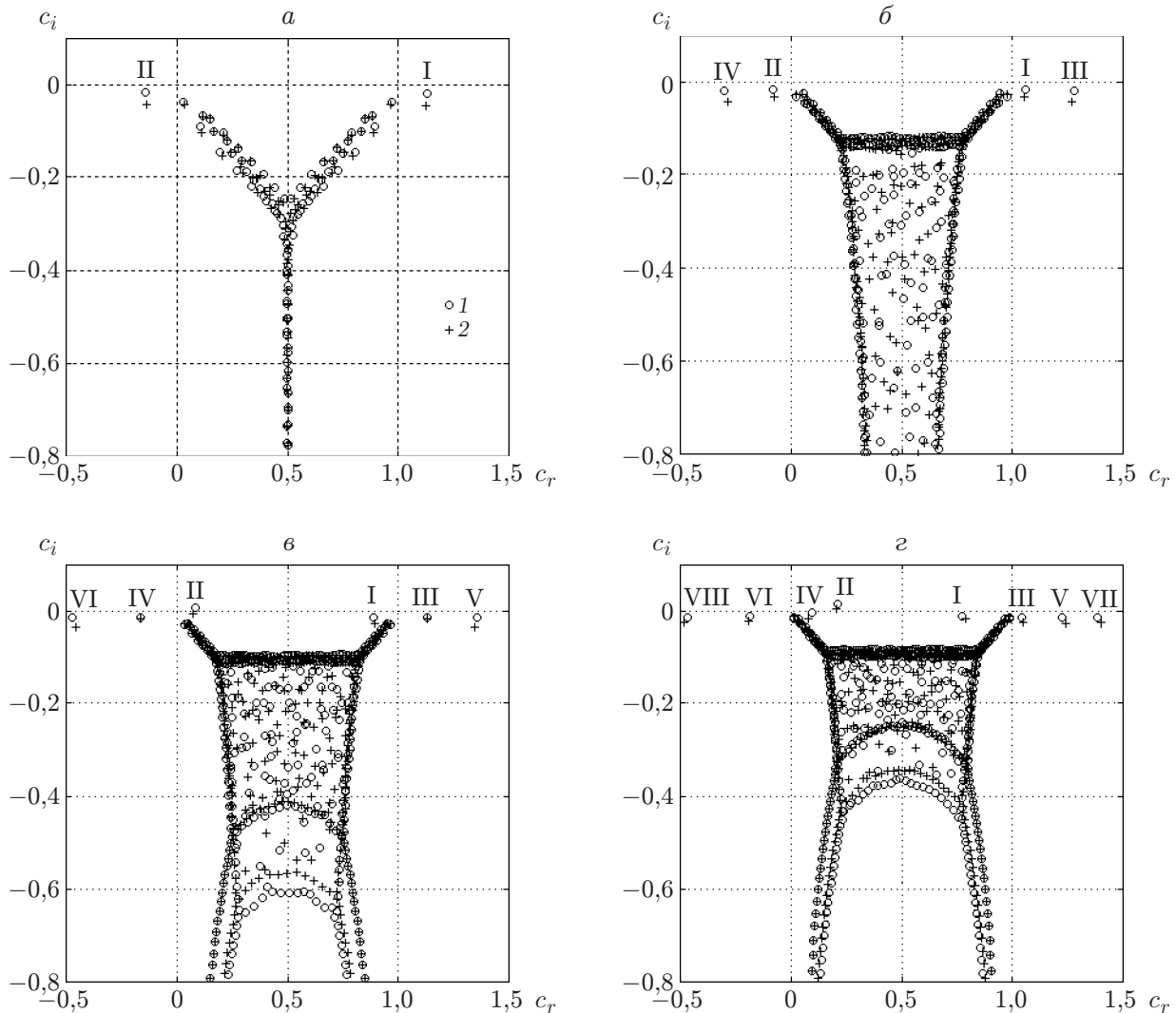


Рис. 3. Спектры собственных значений  $c = c_r + ic_i$  при  $\text{Re} = 2,5 \cdot 10^5$ ,  $M = 5$ :  
 а —  $\alpha = 0,1$ , б —  $\alpha = 1$ , в —  $\alpha = 2$ , г —  $\alpha = 3$ ; 1 —  $\alpha_1 = \gamma_v = 0$ , 2 —  $\alpha_1 = 2$ ,  $\gamma_v = 0,667$ ;  
 I–VIII — моды I–VIII

Поведение мнимой составляющей частот  $\omega_i(\alpha) = \alpha c_i$  мод I и II показано на рис. 4. Видно, что в достаточно узком диапазоне значений волнового числа  $\alpha$  при  $M = 3$  обе моды становятся неустойчивыми. Следует отметить, что в случае невязкого течения мода I остается устойчивой при всех числах Маха и  $\alpha$ , в то время как мода II, наоборот, является неустойчивой при  $0 < c_r$ , а возбуждение колебательных мод стабилизирует невязкий поток [1]. Максимальный инкремент нарастания на рис. 4,б более чем в 1,5 раза превышает максимальное значение для моды II при  $M = 3$  в случае невязкого течения (см. таблицу в [1]). Таким образом, возникновение пиков обусловлено дестабилизирующим влиянием вязкости в узком диапазоне волновых чисел  $\alpha$ . При дальнейшем возрастании числа Маха мода I становится устойчивой (см. рис. 4,в), причем при наличии вязкости декременты затухания больше, чем в случае невязкого течения (штрихпунктирная кривая). В то же время для моды II с увеличением числа Маха максимум инкремента возрастания смещается в область меньших волновых чисел, где при невязком течении, как это следует из рис. 1,б, 4,г, мода II устойчива. При больших волновых числах имеется определенный

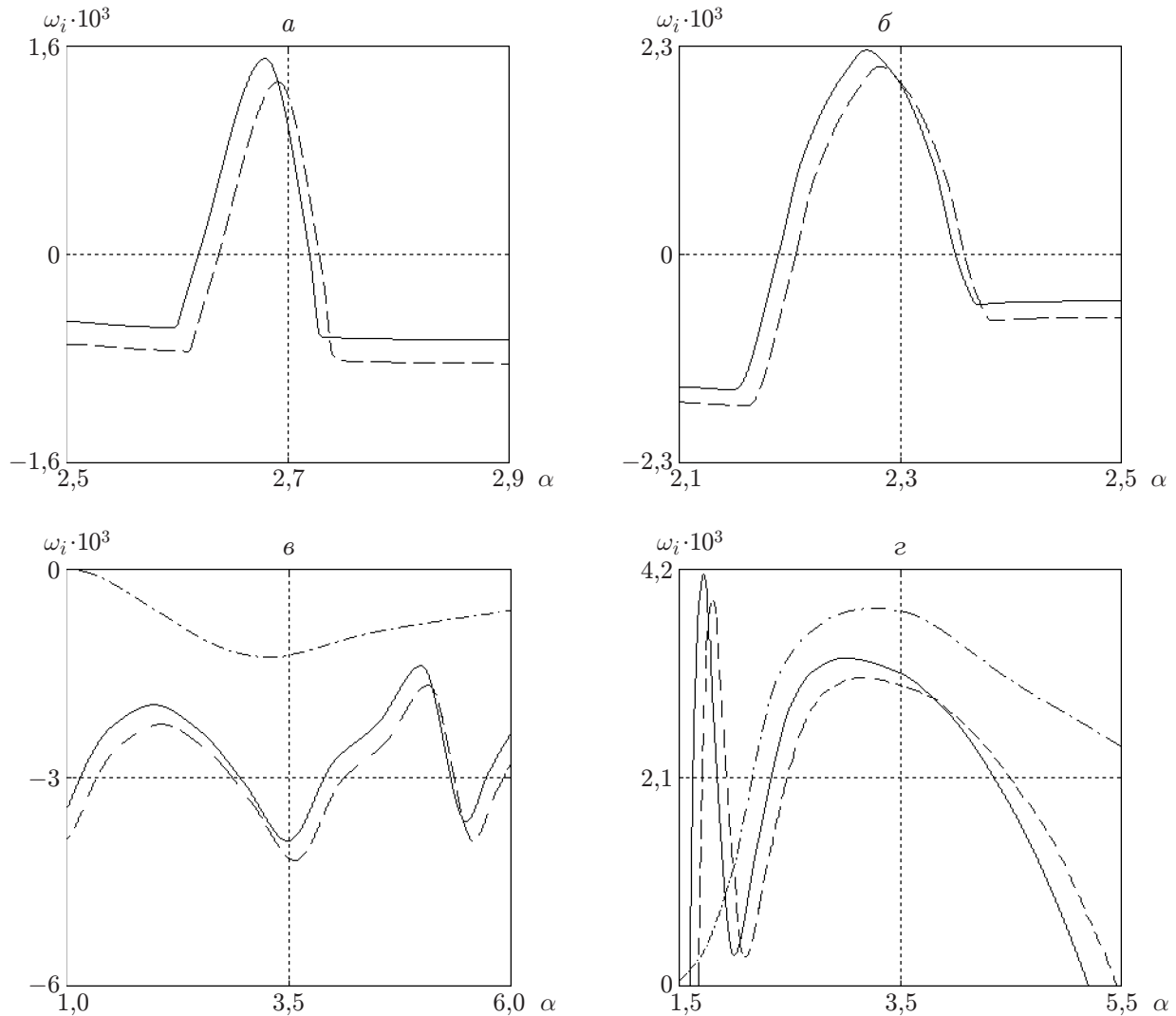


Рис. 4. Зависимости  $\omega_i(\alpha)$  при  $Re = 5 \cdot 10^5$  и  $M = 3$  (*a, б*),  $M = 5$  (*в, г*):  
*a, в* — мода I; *б, г* — мода II; сплошные линии — совершенный газ, штриховые —  
колебательно-возбужденный газ ( $\alpha_1 = 2, \gamma_v = 0,667$ ), штрихпунктирные — идеальный  
газ ( $\gamma_v = 0$ )

интервал, в котором наличие вязкости приводит к уменьшению инкрементов нарастания моды II по сравнению с невязким течением, при этом мода II остается неустойчивой во всем исследованном диапазоне  $M \in [3, 15]$ . Вместе с тем расчеты показывают, что для обеих мод в большей части области изменения  $Re, M$  и  $\alpha$  вязкость является стабилизирующим фактором. При этом во всем диапазоне параметров термическое возбуждение молекул газа оказывает преимущественно стабилизирующее воздействие.

На рис. 5 представлены кривые нейтральных возмущений для мод I и II. На рис. 5, *a* видно, что при  $M = 3$  во всем диапазоне параметров мода II менее устойчива по сравнению с модой I. При возбуждении молекул газа размер области неустойчивости, расположенной между ветвями нейтральной кривой, практически не меняется. Вместе с тем при возбуждении кривые смещаются в сторону больших значений  $Re$  и  $\alpha$ , что приводит к увеличению критических значений числа Рейнольдса  $Re_{cr}$  (ср. абсциссы критических точек  $K_1, K'_1, K_2, K'_2$ ), ниже которых все возмущения затухают. Результаты сравнения рис. 5, *a, б* и рис. 4, *в, г*

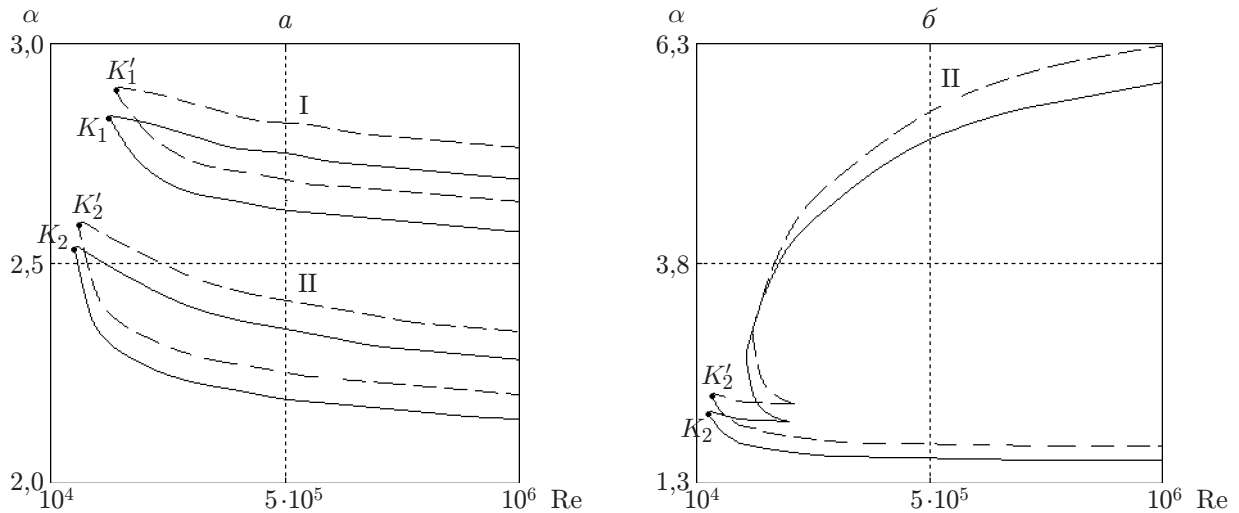


Рис. 5. Кривые нейтральной устойчивости  $\omega_i(\text{Re}, \alpha) = 0$ :  
 а —  $M = 3$ , б —  $M = 5$ ; сплошные линии — совершенный газ, штриховые — колебательно-возбужденный газ ( $\alpha_1 = 2, \gamma_v = 0,667$ ); I — мода I, II — мода II;  $K_1, K_1'$  — критические точки моды I,  $K_2, K_2'$  — критические точки моды II

Критические значения числа Рейнольдса  $\text{Re}_{cr}$   
 и соответствующие им значения волновых чисел  $\alpha_{cr}$  для моды II

M	$\alpha_1 = 0, \gamma_v = 0$		$\alpha_1 = 2, \gamma_v = 0,667$	
	$\text{Re}_{cr} \cdot 10^{-4}$	$\alpha_{cr}$	$\text{Re}_{cr} \cdot 10^{-4}$	$\alpha_{cr}$
3	5,0060	2,5460	5,6061	2,6039
5	2,3830	2,1310	2,6927	2,3377
7	2,1640	1,9301	2,4235	2,1801
9	3,5083	1,8706	3,9626	2,1226
11	5,5753	1,8794	6,2722	2,1144
13	7,5244	1,8839	8,4943	2,1119
15	8,5150	1,8110	9,6151	2,0660

показывают, что с ростом числа Маха область неустойчивости моды II существенно увеличивается, в то время как мода I становится устойчивой.

В таблице приведены значения  $\text{Re}_{cr}$  и  $\alpha_{cr}$  для моды II в зависимости от числа Маха M и параметров возбуждения  $\alpha_1, \gamma_v$ . Из данных таблицы следует, что критические значения числа Рейнольдса  $\text{Re}_{cr}$  при всех числах Маха M увеличиваются приблизительно на 12 % при возрастании параметров  $\alpha_1$  и  $\gamma_v$  до максимальных значений, принятых в расчетах.

На рис. 6 представлены зависимости  $\text{Re}_{cr}(M)$  и  $\alpha_{cr}(M)$  для совершенного и термически возбужденного газов, характеризующие влияние сжимаемости на критические параметры устойчивости сверхзвукового течения Куэтта, определяемые модой II. В обоих случаях зависимости имеют немонотонный характер, причем в области умеренных сверхзвуковых чисел Маха при увеличении M устойчивость течения уменьшается до некоторого минимального значения  $\text{Re}_{cr}$ , дальнейшее увеличение M стабилизирует течение. Неоднозначное влияние числа Маха на устойчивость в данном случае не является исключительным и наблюдается, например, в сверхзвуковом пограничном слое [16]. Вместе с тем во всем диапазоне чисел Маха, в котором мода II неустойчива, термическое возбуждение оказывает стабилизирующее воздействие на течение.

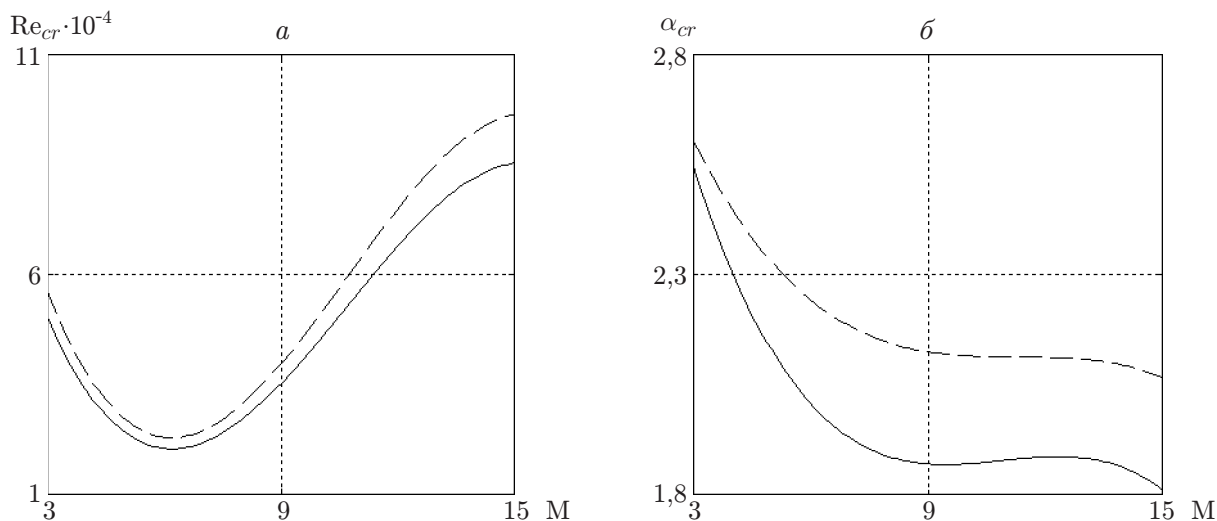


Рис. 6. Зависимости  $Re_{cr}(M)$  (а) и  $\alpha_{cr}(M)$  (б) для моды II: сплошные линии — совершенный газ, штриховые — колебательно-возбужденный газ ( $\alpha_1 = 2$ ,  $\gamma_v = 0,667$ )

#### 4. Выводы. Проведенное исследование позволяет сделать следующие выводы.

Множество собственных значений линейной задачи устойчивости сверхзвукового вязкого течения Куэтта термически возбужденного молекулярного газа, как и в случае совершенного газа, делится на два непересекающихся множества  $S_a$  и  $S_v$ . Собственные значения из множества  $S_a$  при  $Re \rightarrow \infty$  сходятся к собственным значениям для невязких акустических мод I, II, III, ... Собственные значения из множества  $S_v$  не имеют асимптотической связи с невязкой задачей и характеризуются большими декрементами затухания.

Наиболее неустойчивыми являются вязкие моды I и II множества  $S_a$ . Влияние вязкости на их поведение имеет неоднозначный характер. Мода I, невязкий предел которой является устойчивым во всем диапазоне чисел Маха и волновых чисел, при конечных числах Рейнольдса  $Re > 3 \cdot 10^4$  становится неустойчивой в узкой области  $2,50 < \alpha < 2,75$  и  $M \approx 3$ . При других значениях этих параметров наличие вязкости приводит к увеличению устойчивости моды I по сравнению с невязким течением. Вязкая мода II, неустойчивая в невязком течении при всех значениях  $M$  и  $\alpha$ , для которых  $0 < c_r < 1$ , становится устойчивой при  $M < 3$  и конечных числах Рейнольдса. При  $M \geq 3$  в некотором малом диапазоне волновых чисел инкремент нарастания имеет максимум, существенно превышающий соответствующее максимальное значение для невязкого течения. Вне этого диапазона значений  $\alpha$  при  $Re < Re_{cr}$  и наличии вязкости мода II полностью стабилизируется. Тем не менее на плоскости параметров  $(Re, \alpha)$  при  $M \geq 3$  имеется область неустойчивости моды II.

Параметрические расчеты кривых нейтральной устойчивости моды II в диапазоне  $M \in [3, 15]$  показывают, что зависимость  $Re_{cr}(M)$  имеет немонотонный характер, так же как в случае сверхзвукового пограничного слоя. При этом во всем диапазоне термическая релаксация оказывает стабилизирующее воздействие на течение. В зависимости от степени термической неравновесности критическое значение числа Рейнольдса может на 12 % превышать соответствующее значение для совершенного газа.

#### ЛИТЕРАТУРА

1. Григорьев Ю. Н., Ершов И. В. Линейная устойчивость течения Куэтта колебательно-возбужденного газа. 1. Невязкая задача // ПМТФ. 2014. Т. 55, № 2. С. 80–93.

2. **Duck P. W., Erlebacher G., Hussaini M. Y.** On the linear stability of compressible plane Couette flow // *J. Fluid Mech.* 1994. V. 258. P. 131–165.
3. **Hu S., Zhong X.** Linear stability of viscous supersonic plane Couette flow // *Phys. Fluids.* 1998. V. 10, N 3. P. 709–729.
4. **Malik M., Dey J., Alam M.** Linear stability, transient energy growth, and the role of viscosity stratification in compressible plane Couette flow // *Phys. Rev. E.* 2008. V. 77, iss. 3. 036322.
5. **Линь Цзя-цзяо.** Теория гидродинамической устойчивости. М.: Изд-во иностр. лит., 1958.
6. **Canuto C.** Spectral methods in fluid dynamics / C. Canuto, M. Y. Hussaini, A. Quarteroni, T. A. Zang. Berlin: Springer-Verlag, 1988.
7. **Trefethen L. N.** Spectral methods in Matlab. Philadelphia: Soc. Industr. Appl. Math., 2000.
8. **Григорьев Ю. Н., Ершов И. В.** Линейная устойчивость невязкого сдвигового течения колебательно-возбужденного двухатомного газа // *Прикл. математика и механика.* 2011. Т. 75, вып. 4. С. 581–593.
9. **Григорьев Ю. Н., Ершов И. В.** Критические числа Рейнольдса в течении Куэтта колебательно-возбужденного двухатомного газа. Энергетический подход // *ПМТФ.* 2012. Т. 53, № 4. С. 57–73.
10. **Нагнибеда Е. А.** Кинетическая теория процессов переноса и релаксации в потоках неравновесных реагирующих газов / Е. А. Нагнибеда, Е. В. Кустова. СПб.: Изд-во С.-Петерб. гос. ун-та, 2003.
11. **Григорьев Ю. Н.** Устойчивость течений релаксирующих молекулярных газов / Ю. Н. Григорьев, И. В. Ершов. Новосибирск: Изд-во СО РАН, 2012.
12. **Корн Г.** Справочник по математике / Г. Корн, Т. Корн. М.: Наука, 1973.
13. **Moler C. B., Stewart G. W.** An algorithm for generalized matrix eigenvalue problems // *SIAM J. Numer. Anal.* 1973. V. 10, N 2. P. 241–256.
14. **Morawetz C. S.** The eigenvalues of some stability problems involving viscosity // *J. Rat. Mech. Anal.* 1952. V. 1. P. 579–603.
15. **Mack L. M.** On the inviscid acoustic-mode instability of supersonic shear flows. 1. Two-dimensional waves // *Theor. Comput. Fluid Dynamics.* 1990. V. 2. P. 97–123.
16. **Гапонов С. А.** Развитие возмущений в сжимаемых потоках / С. А. Гапонов, А. А. Маслов. Новосибирск: Наука. Сиб. отд-ние, 1980.

*Поступила в редакцию 17/XI 2014 г.*

---